

Experimental Investigation and Modeling of AOT Surfactant Adsorption on Carbonate Rock Particles

Sepideh Veiskarami ^a, Arezou Jafari ^{a*}, Aboozar Soleymanzadeh ^b

a- Chemical Engineering Department, Tarbiat Modares University, Tehran,
Iran

b- Petroleum Department, Petroleum University of Technology, Ahwaz, Iran

Abstract

The enhancement of energy consumption and increasing demand for oil have led to using improve oil recovery methods. Chemical enhanced oil recovery methods are among the most widely used techniques. Generally, the effect of these methods has been less than the predicted amounts by the studies. One of the leading causes, could be due to the loss of chemicals by adsorption or precipitation of the surfactants on the rock surface. The mineralogy of the reservoir rocks is effective in determination of the interaction between the bulk of the fluid phase and rock surface. This effect will change in the surface charge of the adsorbent and wettability alteration of the rocks.

Research subject: In this study, the adsorption of AOT surfactant on the surface of a hydrophilic adsorbent of carbonate reservoir was investigated. For this purpose, after the preparation of rock and fluid samples, the adsorption of surfactant was investigated in concentrations below and above the CMC.

Research approach: Batch adsorption experiments were conducted to measure the amount of surfactant adsorption on the surface of carbonate rock. First different concentration of AOT solutions and carbonate rock as adsorbent were combined. After 48h, the equilibrium concentrations were determined by using the calibration curve and. The amount of surfactant adsorption can be calculated by knowing the magnitudes of equilibrium and initial concentration of the surfactant.

Main results: The results showed that by increasing the concentration of the surfactant in the liquid phase, the adsorption increased until it reaches a saturation point at the concentration of 1200 ppm. The results of the modeling showed that the Freundlich equilibrium isotherm with $1/n$ equals 0.8971 was the best fit for describing the prediction of AOT surfactant adsorption behaviour.

key words

Surfactant
Carbonate Rock
Adsorption Isotherm
Wettability alteration

*To whom correspondence should be addressed:

ajafari@modares.ac.ir

پژوهش‌های کاربردی میانه‌ی سیمی-پلیمر

مطالعه آزمایشگاهی و مدل سازی جذب ماده فعال سطحی AOT بر روی ذرات سنگ کربناته

سپیده ویس کرمی^۱، آرزو جعفری^{۲*}، ابوذر سلیمان زاده^۲

^۱ دانشکده مهندسی شیمی، دانشگاه تربیت مدرس، تهران، ایران
^۲ گروه مهندسی نفت، دانشکده نفت اهواز، دانشگاه صنعت نفت، اهواز، ایران

چکیده

روند رو به رشد مصرف انرژی و افزایش تقاضا برای نفت منجر به اعمال روش‌هایی برای افزایش بازیافت نفت شده است. از جمله این روش‌ها می‌توان به روش‌های شیمیایی از دیاد برداشت اشاره کرد. اما عموماً تأثیر این روش‌ها از مقادیر پیش‌بینی شده توسط مطالعات، نامطلوب‌تر بوده است. یکی از علل عدمه این امر، از دست رفتن ماده فعال سطحی از طریق جذب یا ایجاد رسوب بر روی سطح سنگ است. ترکیب کانی شناسی سنگ مخزن، در تعیین برهم کنش‌های بین سطح تماس مایع و جامد اثرگذار خواهد بود. این اثر به صورت تغییر در بار سطحی جاذب و تغییر ترشوندگی خواهد بود. در این پژوهش به بررسی اثر جذب ماده فعال سطحی AOT (Diocetyl sulfosuccinate sodium salt) بر روی جاذب سنگ مخزن کربناته آب دوست پرداخته شد. بدین منظور، پس از آماده‌سازی نمونه‌های سیال و سنگ، به بررسی جذب ماده فعال سطحی در غلظت‌های زیر CMC و بیش تراز آن پرداخته شد. نتایج نشان داد که با افزایش غلظت ماده فعال سطحی در توده فاز مایع، جذب افزایش می‌یابد، تا در غلظت ۱۲۰۰ ppm به نقطه اشباع برسد. نتایج مدل سازی نشان داد که ایزوترم تعادلی فروندیش با میزان $1/n$ مساوی با 0.8971 به بهترین نحو، رفتار جذب ماده فعال سطحی AOT را پیش‌بینی و توصیف می‌کند.

فصلنامه علمی - پژوهشی بین رشته‌ای
سال سوم، شماره ۳، نسخه ۱
پاییز ۱۳۹۸، صفحه ۳۹-۵۰

کلمات کلیدی

ماده فعال سطحی
سنگ کربناته
ایزوترم جذب
کنش بین سطحی

*مسئول مکاتبات:

ajafari@modares.ac.ir

بین ماده فعال سطحی و سطح سنگ تشکیل می شود، واکنش های شیمیایی نیز نقش مهمی ایفا می کنند [۱۰]. همچنین پیوند های الکترواستاتیک در جذب انواع یونی ماده فعال سطحی بر جاذب های باردار اثرگذار خواهد بود [۶]. وقتی ماده فعال سطحی شامل گروه های هیدروکسیل، کربوکسیلیک، آمین و فنول باشد، جذب عمده از طریق تشکیل پیوندهای هیدروژنی رخ می دهد. جذب انواع آئیونی و صابونی از این گروه خواهد بود [۱۳-۱۱]. عوامل دیگری از جمله قدرت یونی، pH، دما، مقدار و غلظت الکتروولیت و نوع جاذب بر جذب مواد فعال سطحی تأثیر می گذارند [۷، ۱۴-۱۸].

به منظور برقراری ارتباط ریاضی بین میزان جذب تعادلی در سطح تماس مایع و جامد به غلظت تعادلی ماده فعال سطحی در فاز مایع از ایزوترم های جذب تعادلی استفاده می شود. ایزوترم های مختلف دوپارامتری و سه پارامتری در مطالعات دیگران بررسی شده است [۱۹-۲۱]. Wayman [۲۲]، با بررسی جذب یک ماده فعال سطحی آئیونی روی رس ها نشان داد که ایزوترم لانگمیر برای توصیف و پیش بینی رفتار آن ها مناسب است. همچنین Mannhardt [۲۳]، به بررسی جذب مواد فعال سطحی آمفوتری بتائین و سولفو بتائین پرداختند و نتایج کار خود را با نتایج جذب انواع آئیونی مقایسه کردند. در هردو مورد جذب انواع آئیونی از انواع آمفوتر کم تر بود. شادی زاده و همکاران [۲۴] به بررسی جذب ماده فعال سطحی طبیعی که از درخت کنار استخراج شده بود پرداختند. آن ها از سنگ کربناته به عنوان جاذب استفاده کردند. نتایج کار آن ها نشان داد که با افزایش غلظت این ماده، میزان جذب افزایش پیدا کرده تا به نقطه اشباع برسد. همچنین دریافتند که ایزوترم فرونالیش برای پیش بینی جذب مناسب است. آن ها در پژوهش دیگری، اثر حضور نانوذره سیلیکا بر جذب ماده فعال سطحی مطالعه کردند [۲۵]. اثر نانوذرات بر جذب ماده فعال سطحی در مطالعات دیگری به طور گسترده بررسی شد [۲۶، ۲۷]. نتایج آزمایش های آن ها نشان داد که با افزایش غلظت نانوذره، میزان جذب ماده فعال سطحی کاهش می یابد؛ زیرا تمايل جذب در نانوذره آب دوست سیلیکا بیش تر است. براتی و همکاران [۲۸، ۲۹] در مطالعات خود به بررسی جذب ماده فعال سطحی طبیعی TGA روی جاذب های ماسه سنگی و کربناته، به روش هدایت الکتریکی پرداختند، آن ها از روش هوش مصنوعی برای بررسی سینتیک و دینامیک این فرایندها بهره جستند.

جذب بسیاری از مواد فعال سطحی بر روی جاذب های مصنوعی گزارش شده است. اما مرور منابع نشان می دهد که جذب ماده فعال سطحی آئیونی AOT بر

مقدمه:

مخازن با سنگ های کربناته بخش عظیمی از منابع نفتی دنیا را تشکیل می دهند. اما ضریب بازیافت در این مخازن در مراحل اولیه و ثانویه در حدود ۴۵٪ است. لذا به منظور از دیداد برداشت در این مخازن، از روش های از دیداد برداشت ثالثیه استفاده می شود. مواد فعال سطحی از جمله موادی هستند که می توانند با کاهش کشش بین سطحی نفت و آب منجر به متحرک شدن نفت به دام افتاده در حفرات و تولید آن شوند. یکی از عمدۀ ترین مشکلاتی که در حین عملیات سیلاپ زنی مواد فعال سطحی ممکن است رخ دهد، سیلاپ زنی غیراقتصادی و غیر مؤثر ماده فعال سطحی است. علت عمدۀ این امر، جذب ماده فعال سطحی بر روی سنگ مخزن است. به همین جهت امکان سنجی اقتصادی استفاده از این مواد، یکی از عمدۀ ترین جنبه های مورد توجه صنعت است. از بین رفتن ماده در اثر جذب و یا جای گیری در مکان های نامناسب باعث هدر رفت بخش عمدۀ ای از ماده فعال سطحی می شود. جذب ماده فعال سطحی در محیط مخلخل شامل انتقال جرم و واکنش های شیمیایی می شود. درواقع، هنگامی که سطح انرژی جاذب از سطح انرژی سیال مطلوب تر باشد، مولکول های ماده فعال سطحی از توده فاز مایع جدا شده و به سطح سنگ می چسبند [۱، ۲]. جذب مواد فعال سطحی بر روی سطوح سنگ می تواند باعث کاهش اثرگذاری مواد فعال سطحی در کاهش کشش سطحی بین دو فاز شود. همچنین باعث از دست رفتن این ماده ارزشمند شده و منجر به کاهش ضریب بازیافت های حاصل از سیلاپ زنی خواهد شد [۳، ۴].

فرایند جذب ماده فعال سطحی بر سطح تماس مایع و جامد، از طریق برهم کنش های پیچیده شامل برهم-کنش های شیمیایی، الکترواستاتیکی، پیوندهای هیدروژنی و برهم کنش های آب گریز است [۵-۷]. درواقع، دو سازوکار اصلی منجر به جذب ماده فعال سطحی بر روی سطوح می شوند. اولین سازوکار، تعامل بین ماده فعال سطحی و سطح جاذب، دومین سازوکار، تعاملات مولکول های ماده فعال سطحی که به عنوان اثر آب گریزی شناخته می شود. میزان اثر آب گریزی بسیار وابسته به ساختارهای مواد فعال سطحی است که در انواع ماده فعال سطحی با طول زنجیره هیدروکربوری بلند تر و شاخه های بیشتر، قوی تر خواهد بود [۸]. در واقع، پیوند آب گریزی نیروی محرکه ای است که بین مولکول های ماده فعال سطحی در توده فاز مایع و مولکول هایی که در حال حاضر بر سطح سنگ جذب شده اند، رخ خواهد داد. نتیجه این برهم کنش تشکیل تجمعات شبه مایسلی در سطح جاذب و جذب بیشتر خواهد بود [۹]. در مواردی که پیوند کوالانسی

Diffraction Standards شناسایی شد [۳۰].

ماده فعال سطحی مورد استفاده در این پژوهش، از ماده فعال سطحی AOT ساخت شرکت سیگما با درجه خلوص $>97\%$ و از انواع سولفوناته و آنیونی است، این ماده فعال سطحی، یک نمک اسیدسولفونیک (Sulfonic Acid) است که در آن گروه هیدروکسی سولفونیل (Hydroxy Sulfonyl) با حرارت و پیوند شیمیایی قوی بین اتم گوگرد و کربن به زنجیره هیدروکربنی آب گریز متصل شده است. از ویژگی های مطلوب آن می توان به قابلیت اتحال در آب، تجزیه زیستی، همچنین سمیت پایین آن اشاره کرد. سایر خواص این ماده فعال سطحی در جدول ۱ ارائه شده است.

برای اندازه گیری CMC ماده فعال سطحی مورد استفاده از یک نمونه نفت متعلق به یکی از میدان نفتی جنوب ایران استفاده شده است. لازم به ذکر مورد استفاده در جدول ۲ ارائه شده است. لازم به ذکر است که برای اندازه گیری چگالی نفت از دستگاه DMA، گرانروی از گرانروی سنج های کنون فنسک (Cannon Fenske viscometer) برای اندازه گیری میزان آسفالتین موجود در نمونه از استاندارد IP-143 استفاده شد. عدد اسیدیته نیز، توسط روش تیتراسیون KOH به دست آمد.

در این تحقیق، از میان روش های مختلف اندازه گیری

روی نمونه سنگ مخزن کربناته بررسی نشده است. لذا در این پژوهش، برای اولین بار، به بررسی اثر جذب ماده فعال سطحی آنیونی AOT بر سنگ های کربناته مخازن ایران پرداخته شده است. در این راستا، ابتدا ساختار کربناتی نمونه سنگ مخزن توسط آزمایش XRD بررسی شد. سپس به مشخصه سازی ماده فعال سطحی از طریق اندازه گیری آن و تشکیل نمودار کالیبراسیون پرداخته شد. برای سنجش میزان جذب از آزمایش های جذب استاتیک استفاده شده است. لازم بذکر است که در این پژوهش از روش بسیار دقیق اسپکتروفوتومتری طیف نگاری برای تعیین غلظت های تعادلی استفاده شده است و در نهایت، میزان جذب در هر غلظت محاسبه شده و توسط ایزوترم های جذب، مدل سازی و پارامتر های مربوط به هر مدل محاسبه شد. نتایج این مطالعه در انتخاب ماده فعال سطحی مناسب برای مطالعات ازدیاد برداشت، بسیار حائز اهمیت است.

روش کار

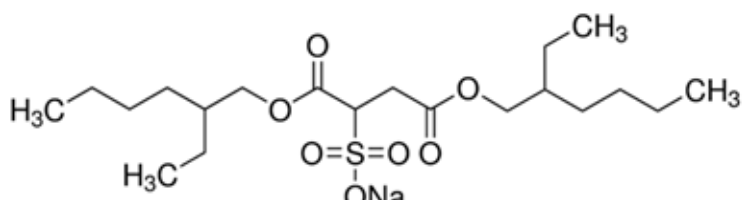
مواد مورد استفاده در پژوهش

در این پژوهش، به منظور تهیه جاذب از یک مغزه کربناته مربوط به یکی از مخازن جنوب ایران استفاده شده است. برای ساختار کانی شناسی مغزه های مورد استفاده، آزمون XRD انجام شد. این روش از آن جهت که روش مستقیمی برای تعیین نوع فازها و

جدول ۱ ویژگی ها و خواص ماده فعال سطحی مورد استفاده

Table 1: Characteristics and properties of the used surfactant

| Chemical Formulation | Atomic mass (g/mol) | Color | CMC (mmol/l) [31] | Toxity (mg/Kg) |
|--|---------------------|-------|-------------------|----------------|
| C ₂₀ H ₃₇ NaO ₇ S | 444.56 | White | 2.55 | 1900 |



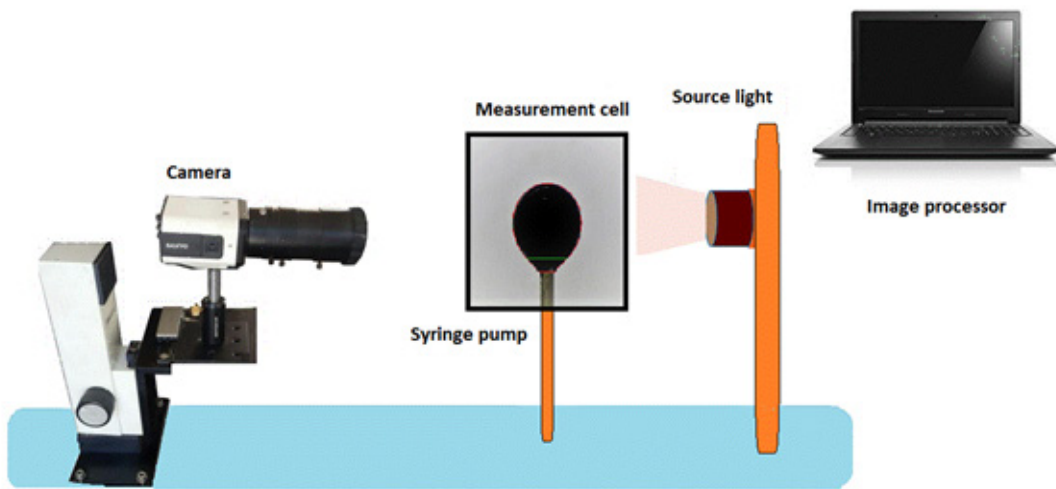
شکل ۱ ساختار شیمیایی ماده فعال سطحی [۳۱]
Figure 1: Chemical structure of the AOT surfactant

CMC، روش اندازه گیری کشش بین سطحی انتخاب شد. بدین منظور از دستگاه اندازه گیری کشش بین سطحی از قطره آویزان (Pendant Drop) مدل ساخت VIT-1000 استفاده شد. لازم به ذکر است که اندازه گیری شده است. طیف حاصل با مقایسه با داده های موجود در دمای آزمایشگاه (۲۵ درجه سانتی گراد) انجام شد.

ساختار بلورین مواد است، دارای اهمیت ویژه است. به این منظور ساختار بلوری سنگ ها با استفاده از تابش Cu-K α و با شدت پراش در محدوده $10 < 2\theta < 90$ با اندازه گام ۰/۰۲ درجه و زمان ۲ ثانیه در هر گام اندازه گیری شده است. طیف حاصل با مقایسه با Joint Committee on Powder

جدول ۲ خواص نفت مورد استفاده در پژوهش
Table 2: Oil sample properties

| Properties | Aspheltene content (%) | Acid Number (mg KOH/g oil) | Density (g/cm3) | API | Dynamic gravity (Cp@ 25oC) |
|------------|------------------------|-----------------------------|-----------------|-----|----------------------------|
| | 2.99 | 0.91 | 0.899 | 26 | 15 |



شکل ۲ شماتیک دستگاه اندازه‌گیری کشش سطحی به روش قطره آویزان
Figure 2: Schematic of the IFT measuring device

استفاده از نمودارهای کالیبراسیون و دانستن غلظت اولیه و غلظت نهایی به دست می‌آید. لازم به ذکر است که در غلظت‌های بیش از 1500 mg/l ، کدورت محلول بالا بوده و نمی‌توان از روش طیف نگاری برای تعیین غلظت‌ها استفاده کرد. با دانستن غلظت تعادلی ماده فعال سطحی، میزان جذب از طریق رابطه زیر قابل محاسبه است:

$$q = \frac{m_{\text{solution}}(C_0 - C)}{m_{\text{rocksample}}} \times 10^{-3} \quad (1)$$

که در آن q میزان جذب ماده فعال سطحی روی سنگ، m_{solution} میزان جرم محلول اولیه، C_0 غلظت اولیه ماده فعال سطحی پیش از تماس با سنگ، C غلظت ثانویه پس از تماس با سنگ، $m_{\text{rocksample}}$ جرم ذرات سنگ است. در این روش دقت اندازه‌گیری‌ها ۵٪ بوده است.

بحث و نتایج

به منظور شناسایی کانی‌های موجود در نمونه‌های سنگ از تحلیل XRD استفاده شده است. در آنالیز نمونه سنگ که در جدول ۳ نشان داده شده است، عده‌ترین کانی سازنده سنگ کلسیت است. همچنین حضور میزان اندکی دولومیت و سایدریت به چشم می‌خورد. این امر بدین معناست که از لحاظ ترکیب

شماتیک این دستگاه در شکل ۲ قابل مشاهده است.

روش انجام آزمایش‌ها

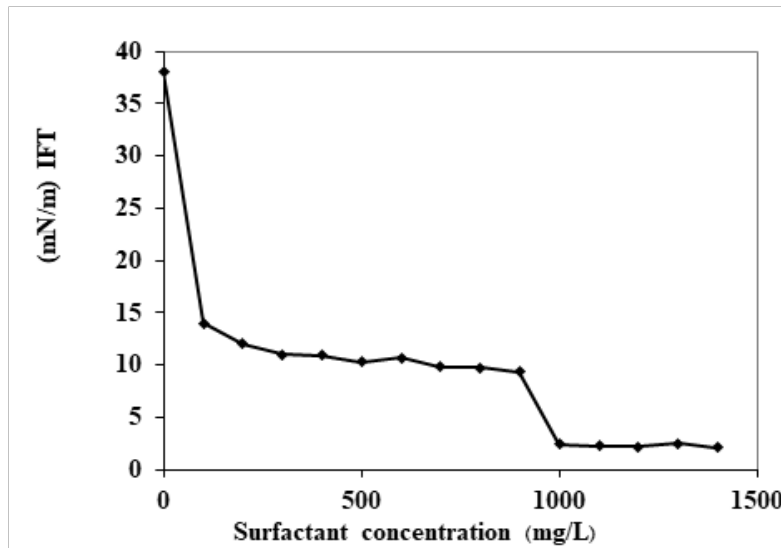
برای انجام آزمایش‌های جذب، نیاز به جاذب است که از خرد کردن سنگ به دست می‌آید. به منظور دست یابی به اندازه مناسب ذرات، پس از خرد کردن سنگ با استفاده از الکهای آزمایشگاهی اندازه ذرات مختلف آزمایش می‌شود. برای اندازه ذرات کوچک‌تر از ۲۰۰ میکرومتر، میزان جذب به دست آمده منفی خواهد بود، از آنجایی که در جاذب AOT وجود ندارد؛ لذا میزان جذب محاسبه شده ناشی از حضور ذرات ریز مانند رس است. لذا اندازه ذرات نهایی بین ۲۱۰ تا ۳۰۰ میکرومتر (معادل مش $50\text{--}70 \mu\text{m}$) خواهد بود. پس از خرد کردن سنگ، خرد ها با آب مقطرا شسته شده و به مدت ۲۴ ساعت در دمای 15°C خشک می‌شوند. محلول‌های ماده فعال سطحی با غلظت‌های $0\text{--}1500 \text{ mg/l}$ آماده شده‌اند و میزان جذب نور عبوری با استفاده از دستگاه OPTIZEN 3220 در بیشینه جذب دستگاه برای محلول که طول موج 245 nm است، خوانده می‌شود. سپس جاذب و محلول ها به نسبت یک به ده محلول می‌شود. برای به دست آوردن میزان جذب، با استفاده از سانتریفیوژ و در 5000 rpm محلول از جاذب جدا می‌شود. و میزان ماده فعال سطحی جذب شده با

جدول ۳ ساختار کریستالی نمونه سنگ مورد استفاده
Table 3: Crystal structure of the rock sample

| Mineral | CaCO_3 | CaMgCl_2 | FeCO_3 |
|-----------------------|-----------------|-------------------|-----------------|
| Weight percent (%Wt.) | 99.94 | 0.035 | 0.017 |

کانی شناسی این سنگ ها عمدتاً از کلسیت (CaCO_3) تشکیل شده‌اند و ساختار سنگ کربناته است. در واقع ساختار جاذب در این پژوهش همگن نبوده و از چند کانی تشکیل شده است.

۱۰۰ تا ۱۵۰۰ ppm AOT در شکل ۴ نشان داده شده است. اندازه گیری ها در روز اول تهیه محلول‌ها انجام شد. همچنین به منظور بررسی پایداری محلول‌ها در حین انجام



شکل ۳ نمودار میزان کشش سطحی بر حسب غلظت ماده فعال سطحی
Figure 3: IFT measurements in terms of surfactant concentration

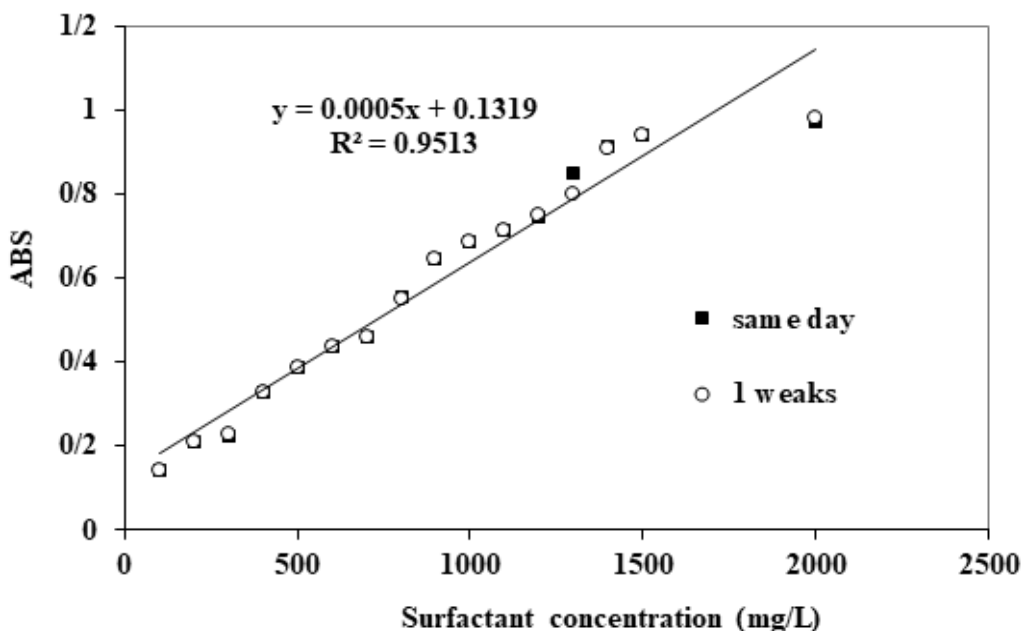
آزمایش ها، میزان جذب پس از یک هفته نیز تکرار شد. همان‌طور که مشاهده می‌شود میزان جذب پس از یک هفته تغییر محسوسی نداشته است که نشان از پایداری محلول‌های استاندارد دارد. همچنین همان‌طور که از شکل نتیجه می‌شود، میزان نور جذب شده و غلظت AOT رابطه‌ای خطی دارد. میزان جذب نور عبوری با استفاده از محلول‌های تهیه شده در روز اول و پس از یک هفته رسم شد تا رفتار ماده فعال سطحی پس از زمان دهی نیز مشاهده شود. مشاهدات حاکی از این بود که زمان دهی ماده فعال سطحی بر میزان نور عبوری تأثیر چندانی ندارد.

جذب ماده فعال سطحی بر روی سنگ از طریق برهم‌کنش‌های پیچیده بین آن‌ها به وجود می‌آید. این برهم‌کنش‌ها احتمالاً شامل، برهم‌کنش‌های شیمیایی، الکترواستاتیک و تشکیل پیوندهای هیدروژنی خواهند بود. شکل ۵ نمودار میزان جذب تعادلی را در غلظت‌های مختلف نشان می‌دهد. طبق این نمودار با افزایش غلظت ماده فعال سطحی میزان جذب زیاد می‌شود که نشان می‌دهد غلظت ماده فعال سطحی

به منظور اندازه گیری CMC ماده فعال سطحی از روش اندازه گیری کشش بین سطحی توسط دستگاه قطره آویزان استفاده شد. سپس مقدار کشش بین سطحی به دست آمده، بر حسب غلظت ماده فعال سطحی در شکل ۳ رسم شد.

با افزودن ماده فعال سطحی به فاز آبی، کشش سطحی آب و نفت، به طور چشمگیری کاهش می‌یابد. با افزایش غلظت ماده فعال سطحی، این روند ادامه خواهد یافت. اما در غلظت‌های بیش از ۱۰۰۰ ppm، تمایل به تشکیل تجمعات و ایجاد مایسل در فاز آبی بیشتر خواهد شد. لذا تشکیل تجمعات مایسلی، باعث تغییر ناگهانی خواص فیزیکی و شیمیایی محلول خواهد شد. لذا نقطه عطف مشاهده شده در نمودار، نقطه CMC محلول است که در اینجا برابر با ۱۰۰۰ ppm خواهد بود.

محلوهای کالیبراسیون AOT در دمای ۲۵ درجه سانتی‌گراد تهیه و توسط دستگاه UV و در طول موج ۲۴۵ nm که طول موج جذب بیشینه است، آنالیز شدند. غلظت محلول‌های مورد استفاده در محدوده

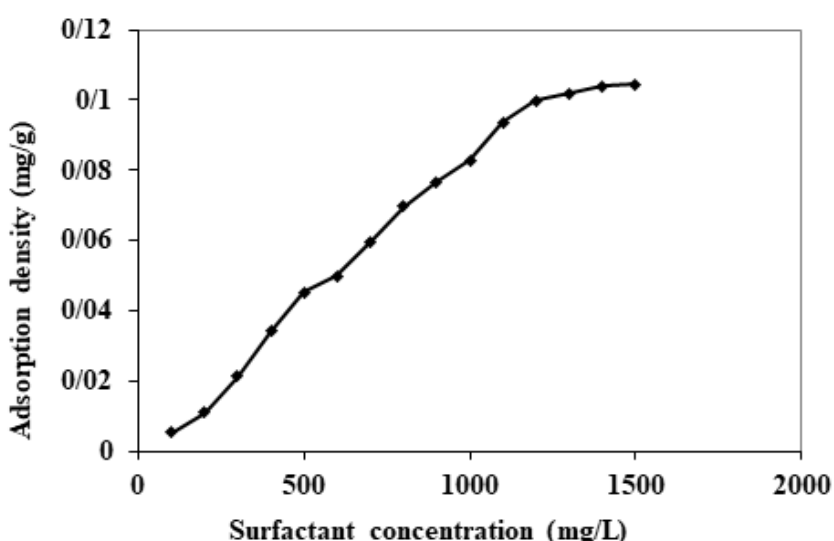


شکل ۴ نمودار کالیبراسیون جذب ماده فعال سطحی AOT در محلول های استاندارد (اندازه گیری در روز اول و پس از گذشت یک هفته از تهیه محلول ها)

Figure 4: Calibration diagram of AOT surfactant adsorption (measured at first day and after one week)

(Lateral Interaction) بین زنجیره هیدروکربوری مونومرها جذب شده بر روی سطح سنگ و مونومرها موجود در توده فاز مایع باشد. وجود این نیروی محرکه اضافی باعث تقویت نیروی الکترواستاتیک موجود و افزایش اندکی در میزان جذب شده است. اما رفتاره تجمعات سطحی مونومرها باعث ایجاد شبکه مایسلهایی خواهد شد که ادامه جذب را با

در میزان جذب اهمیت بسزایی دارد. علت عدمه آن، افزایش اختلاف غلظت بین سطح سنگ و میزان ماده فعال سطحی در توده سیال است. نکته دیگر در نمودار، تغییر شیب میزان جذب در غلظت ppm ۳۰۰ است. میزان جذب تا این غلظت با شیب زیاد افزایش می یابد و مونومرها به صورت الکترواستاتیک به جاذب می چسبند. در محدوده غلظت های ۳۰۰ تا



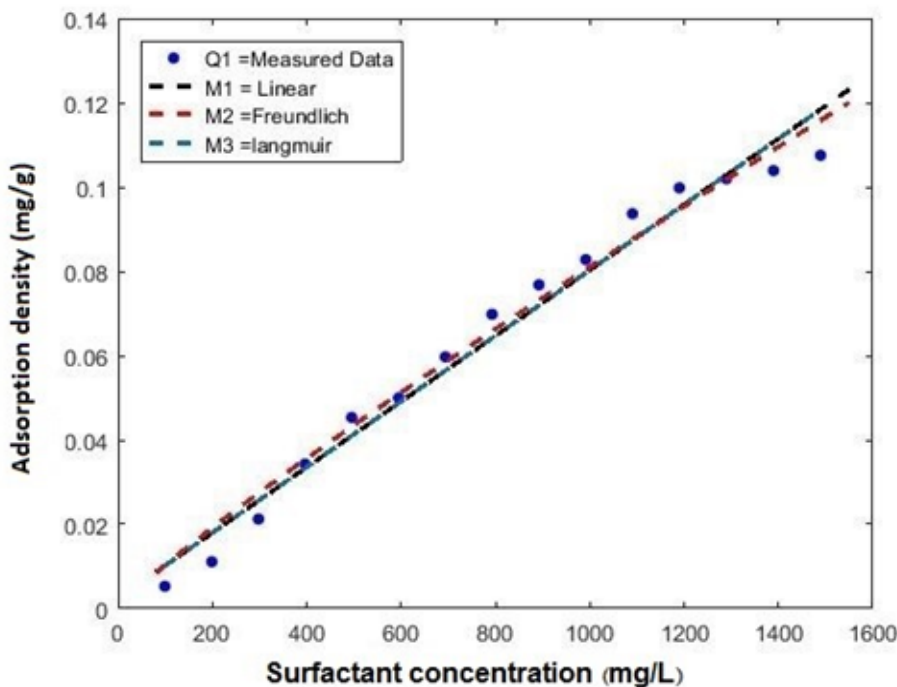
شکل ۵ نمودار چکالی جذب بر حسب غلظت اولیه محلول ماده فعال سطحی

Figure 5: Adsorption density in terms of initial surfactant concentration

علت این امر می تواند برهم کنش های جانبی کندی مواجه کند. در غلظت های بیش از ۱۱۰۰ ppm جذب با شیب اندکی تندتر ادامه می یابد. میزان جذب با تغییرات بسیار اندک روبرو خواهد شد

R_L است که به عنوان عامل جداسازی یا پارامتر تعادلی شناخته می‌شود و از رابطه (۲) محاسبه می‌شود که در آن K_{ad} ثابت جذب لانگمیر و C_0 غلظت جذب اولیه است. میزان پارامتر R_L به دست آمده در این مطالعه، برای غلظت‌های مختلف مقداری بین صفر و یک دارد،

و به میزان تقریباً ثابتی (plateau) می‌رسد. علت این امر می‌تواند تشکیل تجمعات مایسلی در فاز مایع و کم تر بودن میزان جذب مایسلی به نسبت میزان جذب مونومرها باشد. مشاهدات مشابهی در نواحی مختلف جذب سایر انواع مواد فعال سطحی، توسط



شکل ۶ نمودار ایزوترم‌های خطی، لانگمیر و فرونولیش
Figure 6: Diagram of linear, Langmuir and Freundlich isotherms

که نشان‌دهنده میزان جذب مطلوب این ماده فعال سطحی خواهد بود.

$$R_L = \frac{1}{1 + K_{ad} C_0} \quad (2)$$

در مورد ایزوترم فرونولیش (جدول ۴)، توزیع انرژی جذب سطحی به صورت نمایی در نظر گرفته می‌شود و توصیف‌کننده جذب چندلایه‌ای بر روی سطوح ناهمگن است. ضریب K_n نشان‌دهنده بیشینه میزان جذب و ضریب $1/n$ توصیف‌کننده شدت جذب توسط جاذب است. در این پژوهش میزان $1/n$ مساوی با ۰/۸۹۷۱ است که نشان از مطلوب بودن میزان جذب دارد. آزمون XRD (جدول ۳) نشان می‌دهد که جاذب‌تها از کلسیت خالص تشکیل نشده است و احتمالاً ناخالصی‌هایی مانند دولومیت یا رس به همراه دارد. این ناخالصی‌ها، سطح ناهمگنی متشکل از گروههای مختلف از مکان‌های جاذب به وجود می‌آورد. در واقع شیمی سنگ کربناته و یون‌های کربنات محلول در آب تأثیر مهمی در جذب داشته و رفتار اتحالی نمک گونه ترکیبات کلسیت و دولومیت باعث متغیر بودن

دیگر پژوهشگران گزارش شده است [۲۸-۳۲]. به منظور بررسی بیشتر فرایند جذب ماده فعال سطحی از ایزوترم‌های جذب استفاده شده است. ایزوترم‌ها، نمودارهای جذب بر حسب غلظت تعادلی در دمای ثابت هستند. در جدول ۴، از ایزوترم‌های دو پارامتری مطرح برای توصیف جذب ماده فعال سطحی AOT بر سطح سنگ کربناته آب دوست استفاده شده است. به منظور بررسی بیشتر جذب در سطح سنگ از این ایزوترم استفاده شده است. تصویر این ایزوترم‌ها در کنار داده‌های اندازه گیری شده در شکل ۶ قابل مشاهده است. میزان ضرایب با استفاده از رگرسیون غیرخطی Curve Fitting Toolbox نرم‌افزار متلب به دست آمده و نتایج آن در جدول ۴ نشان داده شده است. اگرچه میزان ضریب رگرسیون R^2 در همه ایزوترم‌ها نسبتاً بالاست، اما بیش ترین مقدار، مربوط به ایزوترم جذب فرونولیش و کم ترین آن مربوط به ایزوترم جذب خطی است. ایزوترم جذب لانگمیر توصیف‌کننده مناسبی برای جذب تک-لایه‌ای مونومرها است که بر روی سطوح همگن رخ می‌دهد. نکته مهم دیگر در رابطه با این ایزوترم پارامتر بدون بعد

| Isotherm | Equation | Parameters | |
|------------|---|------------------------------|-----------|
| Linear | $q_e = k_l C_e$ | K _l | 0.0000779 |
| | | SSE | 0.004125 |
| | | R ² | 0.9759 |
| | | R ² _{ad} | 0.9741 |
| | | RMSE | 0.005633 |
| Langmuir | $q_e = \frac{q_0 k_{ad} C_e}{1 + k_{ad} C_e}$ | K _{ad} | 1280000 |
| | | q ₀ | 30.58 |
| | | SSE | 0.0004125 |
| | | R ² | 0.9759 |
| | | R ² _{ad} | 0.9741 |
| Freundlich | $q_e = k_f C_e^{1/n}$ | K _f | 0.0001649 |
| | | n | 1.114 |
| | | SSE | 0.0003233 |
| | | R ² | 0.9811 |
| | | R ² _{ad} | 0.9741 |

می شود.

- رفتار جذبی ماده فعال سطحی AOT، در غلظت های کم تراز CMC، تقریباً خطی است؛ در حالی که در غلظت های بیش از CMC، روند جذب کنتر خواهد شد تا به مقدار اشباع در نزدیکی ۱۲۰۰ ppm برسد.
- ایزوترم فروندلیش، با میزان ۱/n مساوی با ۰/۸۹۷۱ مدل مناسبی برای توصیف جذب ماده فعال سطحی AOT بر سطح سنگ کربناته خرد شده است.

بار سطحی جاذب شده است. بیش ترین همبستگی در ایزوترم های جذب با این ایزوترم وجود دارد که فرضیه جذب چندلایه ای و وجود جاذب ناهمگن را تأیید می کند.

نتیجه گیری

در این مطالعه به بررسی اثر جذب ماده فعال سطحی AOT، بر روی سطح سنگ کربناته خرد شده پرداخته شد و نتایج زیر به دست آمد.

- در غلظت های اولیه، با افزایش غلظت ماده فعال سطحی، میزان جذب به صورت تقریباً خطی، دو برابر می شود. اما رفته از مقدار این تغیرات کاسته

| علامت | معادل انگلیسی | معادل فارسی |
|------------------|--|--|
| AOT | Aerosol OT (Diocetyl sulfosuccinate sodium salt) | ماده فعال سطحی AOT |
| C | Concentration of adsorbate in solution after equilibrium | غلظت تعادلی ماده فعال سطحی در فاز مایع |
| C_0 | initial concentration of surfactant in solution | غلظت اولیه ماده فعال سطحی در فاز مایع |
| CMC | critical micelle concentration | غلظت بحرانی تشکیل مایسل |
| IFT | interfacial tension | کشش بین سطحی |
| K_{ad} | Langmuir isotherm equilibrium binding constant | ثابت جذب ایزوترم لانگمیر |
| K_f | Freundlich isotherm constant | ثابت جذب ایزوترم فروندلیش |
| K_l | Linear isotherm constant | ثابت جذب ایزوترم خطی |
| $m_{solution}$ | Mass of solution | جرم محلول |
| $m_{rocksample}$ | Mass of rocksample | جرم نمونه سنگ |
| n | exponent in Freundlich isotherm | پارامتر توانی ایزوترم جذب فروندلیش |
| q | Initial concentration of surfactant | غلظت اولیه ماده فعال سطحی |
| q_0 | Theoretical monolayer capacity of Langmuir isotherm | ظرفیت تئوری تک لایه در ایزوترم لانگمیر |
| q_e | amount of the adsorption at equilibrium | مقدار جذب در حالت تعادلی |

مراجع

- 1 A. Bera, T. Kumar, K. Ojha, and A. Mandal, «Adsorption of Surfactants on Sand Surface in Enhanced Oil Recovery: Isotherms, kinetics and Thermodynamic Studies,» *Applied Surface Science*, vol. -284 pp. 2013 ,99-87.
- 2 P. A. Siracusa and P. Somasundaran, «The Role of Mineral Dissolution in The Adsorption Of Dodecylbenzenesulfonate on Kaolinite and Alumina,» *Colloids and surfaces*, vol. -26 pp. 1987 ,77-55.
- 3 T. Austad, I. Fjelde, and K. Veggeland, «Adsorption VI. Nonequilibrium Adsorption of Ethoxylated Sulfonate Onto Reservoir Cores In The Presence of Xanthan,» *Journal of Petroleum Science and Engineering*, vol. -12 pp. 1994 ,8-1.
- 4 P. E. Figdore, «Adsorption of Surfactants on Kaolinite: NaCl Versus CaCl₂ Salt Effects,» *Journal of Colloid and Interface Science*, vol. -87 pp. 1982 ,517-500.
- 5 P. Somasundaran and R. Grieves, «Advances In Interfacial Phenomena of Particulate/Solution/Gas Systems; applications to flotation research,» in *AICHE Symposium Series*, vol. -71p. 1975 ,191.
- 6 R. Zhang and P. Somasundaran, «Advances in Adsorption of Surfactants and Their Mixtures at Solid/Solution Interfaces,» *Advances in colloid and interface science*, vol. -123 pp. 2006 ,229-213.
- 7 P. Somasundaran and L. Huang, «Adsorption/Aggregation of Surfactants and Their Mixtures At Solid–Liquid Interfaces,» *Advances in Colloid and Interface Science*, vol. -88 pp. 2000 ,208-179.
- 8 E. Alami, K. Holmberg, and J. Eastoe, «Adsorption Properties of Novel Gemini Surfactants With Nonidentical Head Groups,» *Journal of colloid and interface science*, vol. -247 pp. 2002 ,455-447.
- 9 S. Paria and K. C. Khilar, «A Review on Experimental Studies of Surfactant Adsorption at The Hydrophilic Solid–Water Interface,» *Advances in colloid and interface science*, vol. -110 pp 95.2004-75
- 10 A. S. Peck and M. E. Wadsworth, «Infrared Study of The Depression Effect of Fluoride, Sulphate And Chloride on The Chemisorption of Oleate on Fluorite and Barite,» in *7th International Mineral Processing Congress*, New York, 1964, pp. 2
- 11 R. O. James and T. W. Healy, «Adsorption of Hydrolyzable Metal Ions at The Oxide—Water Interface. III. A Thermodynamic Model of Adsorption,» *Journal of Colloid and Interface Science*, vol. -40 pp. 1972 ,81-65.
- 12 L. Zhang, P. Somasundaran, J. Mielczarski, and E. Mielczarski, «Adsorption Mechanism of N-Dodecyl-B-D-Maltoside on Alumina,» *Journal of colloid and interface science*, vol. -256 pp. 2002 ,22-16.
- 13 D. Das, S. Panigrahi, P. K. Misra, and A. Nayak, «Effect of Organized Assemblies. Part 4. Formulation of Highly Concentrated Coal-Water Slurry Using A Natural Surfactant,» *Energy & Fuels*, vol. -22 pp. 2008 ,1872-1865.
- 14 S. Dick, D. Fuerstenau, and T. Healy, «Adsorption of Alkylbenzene Sulfonate (ABS) Surfactants at The Alumina-Water Interface,» *Journal of Colloid and Interface Science*, vol. -37 pp. 1971 ,602-595.
- 15 D. Fuerstenau and T. Wakamatsu, «Effect of pH on the Adsorption of Sodium Dodecane-Sulphonate at The Alumina/Water Interface,» *Faraday Discussions of the Chemical Society*, vol. -59 pp. 1975 ,168-157.
- 16 S. H. Wu and P. Pendleton, «Adsorption of Anionic Surfactant by Activated Carbon: Effect of Surface Chemistry, Ionic Strength, and Hydrophobicity,» *Journal of colloid and interface science*, vol. -243 pp. 2001 ,315-306.
- 17 B. Ball and D. Fuerstenau, «Thermodynamics and Adsorption Behaviour in The Quartz/Aqueous Surfactant System,» *Discussions of the Faraday Society*, vol. -52 pp. 1971 ,371-361.
- 18 M. Baviere, E. Ruaux, and D. Defives, «Sulfonate Retention by Kaolinite at High Ph-Effect of Inorganic Anions,» *SPE reservoir engineering*, vol. -8 pp. 1993 ,127-123.
- 19 I. Langmuir, «The Constitution and Fundamental Properties of Solids And Liquids. Part I. Solids,» *Journal of the American chemical society*, vol. -38 pp. 1916-2295-221,
- 20 I. Langmuir, «The Adsorption of Gases on Plane Surfaces of Glass, Mica And Platinum,» *Journal of the American Chemical society*, vol. -40 pp. 1918 ,1403-1361.
- 21 H. Freundlich, «Over The Adsorption in Solution,» *J. Phys. Chem*, vol. 7 -5pp. -1100

- 1906 ,1107.
- 22 C. H. Wayman, «Surfactant Sorption on Heteroionic Clay Minerals,» in Intern. Clay Conf., Stockholm, 1963, pp. 350-329.
- 23 K. Mannhardt, L. L. Schramm, and J. J. Novosad, «Adsorption of Anionic And Amphoteric Foam-Forming Surfactants on Different Rock Types,» Colloids and surfaces, vol. -68 pp. 1992 ,53-37.
- 24 M. A. Ahmadi and S. R. Shadizadeh, «Adsorption of Novel Nonionic Surfactant and Particles Mixture In Carbonates: Enhanced Oil Recovery Implication,» Energy & Fuels, vol. -26 pp. 2012 ,4663-4655.
- 25 S. Emadi, S. R. Shadizadeh, A. K. Manshad, A. M. Rahimi, and A. H. Mohammadi, «Effect of Nano Silica Particles on Interfacial Tension (IFT) and Mobility Control of Natural Surfactant (Cedr Extraction) Solution in Enhanced Oil Recovery Process by Nano-Surfactant Flooding,» Journal of Molecular Liquids, vol. -248 pp. 2017 ,167-163.
- 26 Y. Wu, W. Chen, C. Dai, Y. Huang, H. Li, M. Zhao, et al., «Reducing Surfactant Adsorption on Rock By Silica Nanoparticles For Enhanced Oil Recovery,» Journal of Petroleum Science and Engineering, vol. -153 pp. -283 2017 ,287.
- 27 G. Cheraghian, «Evaluation of Clay And Fumed Silica Nanoparticles on Adsorption of Surfactant Polymer During Enhanced Oil Recovery,» Journal of the Japan Petroleum Institute, vol. -60 pp. 2017 ,94-85.
- 28 A. Barati-Harooni, A. Najafi-Marghmaleki, A. Tatar, and A. H. Mohammadi, «Experimental and Modeling Studies on Adsorption of A Nonionic Surfactant on Sandstone Minerals in Enhanced Oil Recovery Process With Surfactant Flooding,» Journal of Molecular Liquids, vol. -220 pp. ,1032-1022 2016.
- 29 A. Barati, A. Najafi, A. Daryasafar, P. Nadali, and H. Moslehi, «Adsorption of A New Nonionic Surfactant on Carbonate Minerals In Enhanced Oil Recovery: Experimental and Modeling Study,» Chemical Engineering Research and Design, vol. -105 pp. ,63-55 2016.
- 30 J. Clark, «Joint Committee on Powder Diffraction Standards (JCPDS), Card, 1961.
- 31 T. Tichelkamp, Y. Vu, M. Nourani, and G. Øye, «Interfacial Tension Between Low Salinity Solutions of Sulfonate Surfactants and Crude And Model Oils,» Energy & Fuels, vol. -28 pp. 2014 ,2414-2408.
- 32 M. A. Ahmadi and S. R. Shadizadeh, «Experimental Investigation of Adsorption of A New Nonionic Surfactant on Carbonate Minerals,» Fuel, vol. -104 pp. 2013 ,467-462.